

Restauration à partir de données multispectrales floues et une réponse instrument non stationnaire

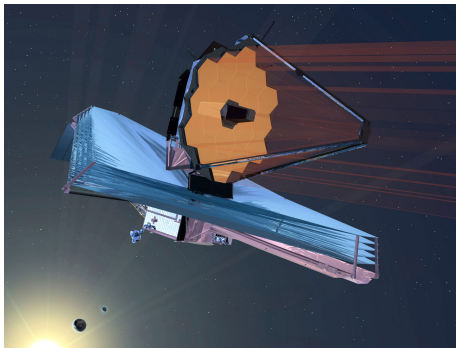
Mohamed Amine HADJ-YOUCF^{1,2}
François ORIEUX^{1,2}, Aurélia FRAYSSE¹, Alain ABERGEL²

¹Laboratoire des Signaux et Systèmes (L2S)

²Institut d'Astrophysique Spatiale (IAS)



Contexte



Télescope	JWST
Organisation	NASA (ESA/CSA)
Budget	10 Milliard US\$
Miroir	$25m^2$ ($2.5m^2$ Hubble)
Lancement	Oct. 2018

- Principales objectifs de la mission :
 - Formation et évolution des galaxies
 - Comprendre la formation des étoiles et les systèmes planétaires

Plan de travail

- 1 Modèle instrument
- 2 Modèle direct
- 3 Inversion et résultats
- 4 Conclusion et perspectives

Modèle instrument (1/5)

Objet d'intérêt

Objet astrophysique, $\phi(\alpha, \beta, \lambda) : \mathbb{R}^3 \rightarrow \mathbb{R}$, ayant deux dimensions spatiales α, β et une dimension spectrale $\lambda \in \mathbb{R}^+$



Problèmes

- Limitation de la résolution spatiale par la réponse optique
- Variation de la réponse optique en λ
- Intégration spectrale de l'objet sur une large bande

Objectives

- Reconstruction de l'objet original $2D + \lambda$ en exploitant l'ensemble de données à différentes bandes spectrales

Modèle instrument (1/5)

Objet d'intérêt

Objet astrophysique, $\phi(\alpha, \beta, \lambda) : \mathbb{R}^3 \rightarrow \mathbb{R}$, ayant deux dimensions spatiales α, β et une dimension spectrale $\lambda \in \mathbb{R}^+$



Problèmes

- Limitation de la résolution spatiale par la réponse optique
- Variation de la réponse optique en λ
- Intégration spectrale de l'objet sur une large bande

Objectives

- Reconstruction de l'objet original $2D + \lambda$ en exploitant l'ensemble de données à différentes bandes spectrales

Modèle instrument (1/5)

Objet d'intérêt

Objet astrophysique, $\phi(\alpha, \beta, \lambda) : \mathbb{R}^3 \rightarrow \mathbb{R}$, ayant deux dimensions spatiales α, β et une dimension spectrale $\lambda \in \mathbb{R}^+$



Problèmes

- Limitation de la résolution spatiale par la réponse optique
- Variation de la réponse optique en λ
- Intégration spectrale de l'objet sur une large bande

Objectives

- Reconstruction de l'objet original $2D + \lambda$ en exploitant l'ensemble de données à différentes bandes spectrales

Modèle instrument (2/5)

- Réponse du système optique

$$\phi_{opt}(\alpha, \beta, \lambda) = \phi(\alpha, \beta, \lambda) \underset{\alpha, \beta}{\star} h(\alpha, \beta, \lambda)$$

$h(\alpha, \beta, \lambda)$: réponse optique, ou PSF (Point Spread Function)

$\lambda_1 = 5.60 \mu m$



$\lambda_2 = 7.70 \mu m$



$\lambda_3 = 10.00 \mu m$



$\lambda_4 = 11.30 \mu m$



$\lambda_5 = 12.80 \mu m$



$\lambda_6 = 15.80 \mu m$



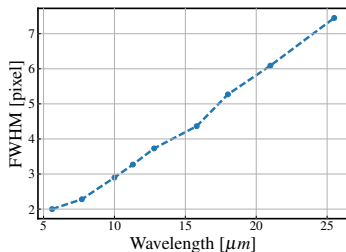
$\lambda_7 = 18.00 \mu m$



$\lambda_8 = 21.00 \mu m$



$\lambda_9 = 25.50 \mu m$



Modèle instrument (3/5)

- Réponse du filtre

$$\phi_{filt}(\alpha, \beta, \lambda) = \tau_f(\lambda) \phi_{opt}(\alpha, \beta, \lambda)$$

$\tau_f(\lambda)$: Transmission du filtre. $f \in [1, n_f]$ indice du filtre

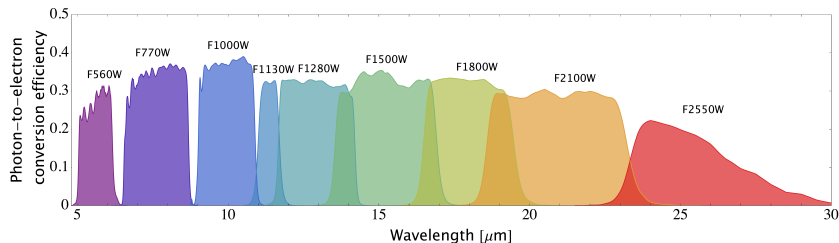


Figure – Filtres de l'imageur de MIRI, source : jwst-docs.stsci.edu

Modèle instrument (4/5)

- Réponse du détecteur :
 - Intégration spectrale

$$y^{(f)}(\alpha, \beta) = \int_{\mathbb{R}_+} \eta(\lambda) \phi_{filt}(\alpha, \beta, \lambda) d\lambda$$

$\eta(\lambda)$: réponse spectrale, ou efficacité quantique

- Intégration spatiale 2D

$$y^{(f)}(i, j) = \iint y^{(f)}(\alpha, \beta) \text{Rect}\left(\frac{\alpha - i\Delta_i}{\Delta_i}, \frac{\beta - j\Delta_j}{\Delta_j}\right) d\alpha d\beta$$

$\Delta_i \times \Delta_j$: surface du pixel (i, j)

$\text{Rect}(\cdot, \cdot)$: fonction intégration rectangulaire

Modèle instrument (5/5)

Équation complète

$$y^{(f)}(i,j) = \iint \int_{\mathbb{R}_+} \eta(\lambda) \tau_f(\lambda) \phi(\alpha, \beta, \lambda) \underset{\alpha, \beta}{\star} h(\alpha, \beta, \lambda) \operatorname{Rect} \left(\frac{\alpha - i\Delta_i}{\Delta_i}, \frac{\beta - j\Delta_j}{\Delta_j} \right) d\lambda d\alpha d\beta$$

Modèle Instrument proposé

$$y^{(f)}(i,j) = \Delta^2 \int_{\mathbb{R}_+} \eta(\lambda) \tau_f(\lambda) \phi(i,j,\lambda) \underset{i,j}{\star} h(i,j,\lambda) d\lambda$$

Différence avec les travaux existants

-

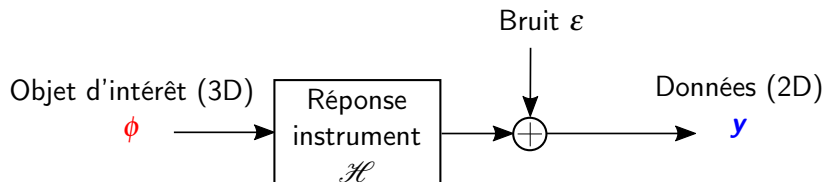
- ① Variation en λ de la PSF
 - PSF mesurée [BGML⁺15, GRR⁺10]
 - PSF large bande [GL10]
 - Interpolation de PSF [STD13],
 - Approximation de PSF [VC14]
- ② Traitement de données filtre par filtre
 - Modèle instrument standard (spectre plat) :

$$y^{(f)}(i,j) = \phi(i,j) \star_{i,j} h_{large}(i,j)$$

Contenu

- 1 Modèle instrument
- 2 **Modèle direct**
- 3 Inversion et résultats
- 4 Conclusion et perspectives

Modèle direct (1/4)



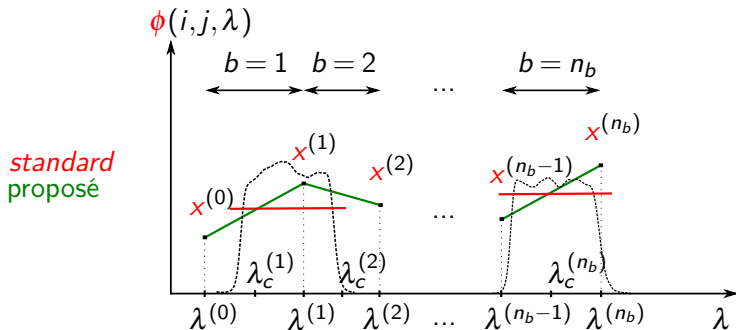
$$y^{(f)} = \mathcal{H}(\phi) + \varepsilon^{(f)}$$

$\varepsilon^{(f)} \in \mathbb{R}^N$: erreur

- Spectre linéaire par morceau
- Traitement conjoint de l'ensemble de données multi-filtre

Modèle direct (2/4)

- Pour le pixel (i, j)



$$\phi(\lambda) \simeq \sum_{b=1}^{n_b} \phi^{(b)}(\lambda) \mathbb{1}_{[\lambda^{(b-1)}, \lambda^{(b)}]}(\lambda)$$

$$\phi^{(b)}(\lambda) = x^{(b)} g_+^{(b)}(\lambda) + x^{(b-1)} g_-^{(b)}(\lambda) \text{ et}$$

Modèle direct (3/4)

- Le modèle instrument devient :

$$y^{(f)}(i,j) = \sum_{b=0}^{n_b} \left[h_{\text{int}}^{(f,b)} \star_{i,j} x^{(b)} \right] (i,j)$$

avec

$$h_{\text{int}}^{(f,b)}(i,j) = \int_{\mathbb{R}_+} g^{(f,b)}(\lambda) h(i,j,\lambda) d\lambda$$

- Écriture vecteur-matrice :

$$y^{(f)} = \sum_{b=0}^{n_b} H_{\text{int}}^{(f,b)} x^{(b)}, \quad f \in [1, n_f]$$

$H_{\text{int}}^{(f,b)}$ est une matrice de convolution de taille $N \times N$.

Modèle direct (4/4) : Traitement multi-filtres

Modèle direct linéaire

$$\begin{bmatrix} \mathbf{y}^{(1)} \\ \mathbf{y}^{(2)} \\ \vdots \\ \mathbf{y}^{(n_f)} \end{bmatrix} = \begin{bmatrix} \mathbf{H}^{(1,0)} & \mathbf{H}^{(1,1)} & \dots & \mathbf{H}^{(1,n_b)} \\ \mathbf{H}^{(2,0)} & \ddots & & \mathbf{H}^{(2,n_b)} \\ \vdots & & \ddots & \vdots \\ \mathbf{H}^{(n_f,0)} & \mathbf{H}^{(1,0)} & \dots & \mathbf{H}^{(n_f,n_b)} \end{bmatrix} \begin{bmatrix} \mathbf{x}^{(0)} \\ \mathbf{x}^{(1)} \\ \vdots \\ \mathbf{x}^{(n_b)} \end{bmatrix} + \begin{bmatrix} \boldsymbol{\varepsilon}^{(1)} \\ \boldsymbol{\varepsilon}^{(2)} \\ \vdots \\ \boldsymbol{\varepsilon}^{(n_f)} \end{bmatrix}$$

$$\Rightarrow \mathbf{y} = \mathbf{H}\mathbf{x} + \boldsymbol{\varepsilon}$$

Contenu

- 1 Modèle instrument
- 2 Modèle direct
- 3 Inversion et résultats**
- 4 Conclusion et perspectives

Inversion (1/3)

- Calcul de la solution

$$\hat{\mathbf{x}} = \underset{\mathbf{x}}{\operatorname{argmin}} J(\mathbf{x})$$

$$J(\mathbf{x}) = \|\mathbf{y} - \mathbf{H}\mathbf{x}\|_2^2 + \underbrace{\sum_{b=0}^{n_b} \mu_b \left\| \mathbf{D}\mathbf{x}^{(b)} \right\|_2^2}_{\|\mathbf{C}\mathbf{x}\|_2^2}$$

\mathbf{D} est un opérateur de différence 2D (solutions lisses), μ paramètres de régularisation et $\mathbf{C} = \operatorname{diag}\{\mu_0 \mathbf{D}, \dots, \mu_{n_b} \mathbf{D}\}$

- Estimateur linéaire

$$\hat{\mathbf{x}} = (\mathbf{H}^t \mathbf{H} + \mathbf{C}^t \mathbf{C})^{-1} \mathbf{H}^t \mathbf{y}$$

Inversion (2/3)

- Diagonalisation en Fourier : Approximation circulante

$$\mathbf{H}^{(f,b)} \simeq \mathbf{F}^\dagger \mathbf{\Lambda}_h^{(f,b)} \mathbf{F}, \quad \mathbf{D} \simeq \mathbf{F}^\dagger \mathbf{\Lambda}_d \mathbf{F}$$

$$\begin{aligned} \hat{\ddot{\mathbf{x}}} &= (\mathbf{\Lambda}_h^t \mathbf{\Lambda}_h + \mathbf{\Lambda}_c^t \mathbf{\Lambda}_c)^{-1} \mathbf{\Lambda}_h^t \ddot{\mathbf{y}} \\ &= \left[\begin{array}{cc} \sum_{f=1}^{n_f} |\mathbf{\Lambda}_h^{(f,0)}|^2 + \mu_0 |\mathbf{\Lambda}_d|^2 & \cdots & \sum_{f=1}^{n_f} \mathbf{\Lambda}_h^{\dagger(f,0)} \mathbf{\Lambda}_h^{(f,n_b)} \\ \vdots & \ddots & \vdots \\ \sum_{f=1}^{n_f} \mathbf{\Lambda}_h^{\dagger(f,n_b)} \mathbf{\Lambda}_h^{(f,0)} & \cdots & \sum_{f=1}^{n_f} |\mathbf{\Lambda}_h^{(f,n_b)}|^2 + \mu_{n_b} |\mathbf{\Lambda}_d|^2 \end{array} \right]^{-1} \mathbf{\Lambda}_h^{\dagger} \ddot{\mathbf{y}} \end{aligned}$$

Matrice de taille $(n_b + 1)N \times (n_b + 1)N$ difficile à inverser !!

Inversion (3/3)

- Algorithme d'optimisation : Système linéaire à résoudre

$$\underbrace{\left(\Lambda_h^\dagger \Lambda_h + \Lambda_c^\dagger \Lambda_c \right)}_{\hat{Q}} \hat{\mathbf{x}} = \Lambda_h^\dagger \hat{\mathbf{y}}$$

$$\hat{Q} \hat{\mathbf{x}} = \begin{bmatrix} \sum_{f=1}^{n_f} \Lambda_h^{\dagger(f,0)} \left(\sum_{i=0}^{n_b} \Lambda_h^{(f,i)} \hat{\mathbf{x}}^{(i)} \right) + \mu_0 \Lambda_d^\dagger \Lambda_d \hat{\mathbf{x}}^{(0)} \\ \vdots \\ \sum_{f=1}^{n_f} \Lambda_h^{\dagger(f,n_b)} \left(\sum_{i=0}^{n_b} \Lambda_h^{(f,i)} \hat{\mathbf{x}}^{(i)} \right) + \mu_{n_b} \Lambda_d^\dagger \Lambda_d \hat{\mathbf{x}}^{(n_b)} \end{bmatrix}$$

$$\Lambda_h^\dagger \hat{\mathbf{y}} = \begin{bmatrix} \sum_{f=1}^{n_f} \Lambda_h^{\dagger(f,0)} \hat{\mathbf{y}}^{(f)} \\ \vdots \\ \sum_{f=1}^{n_f} \Lambda_h^{\dagger(f,n_b)} \hat{\mathbf{y}}^{(f)} \end{bmatrix}$$

Résultats : Information spectrale

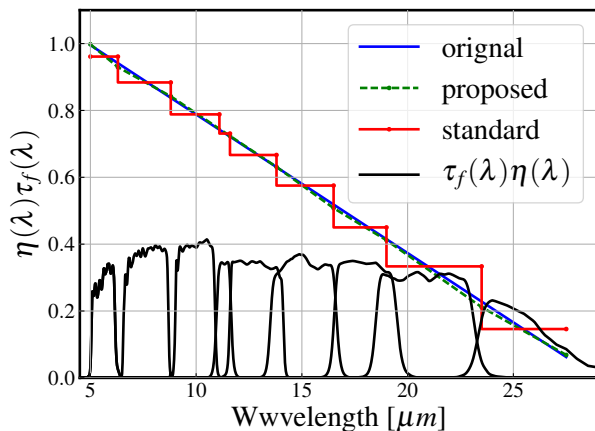


Figure – Illustration de la restauration spectrale

Résultats : Information spatiale

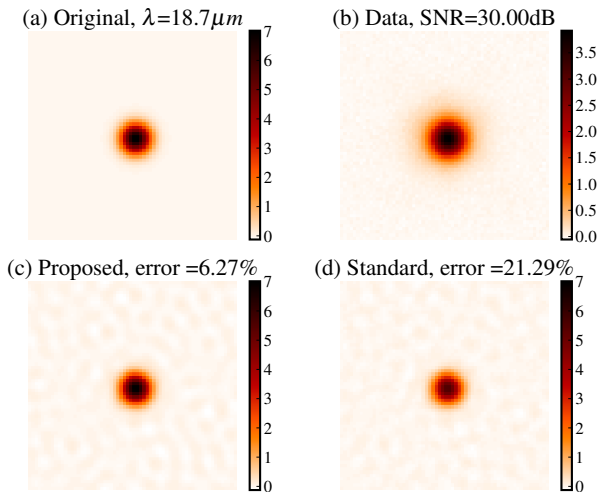


Figure – Illustration de la restauration spatiale sur des coupes à $\lambda = 18.7\mu m$

Résultats : Information spatiale

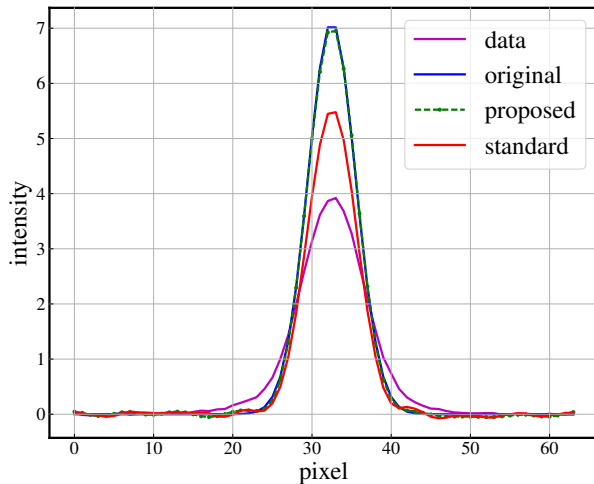


Figure – Illustration de la restauration spatiale sur des coupes à $\lambda = 18.7\mu m$

Contenu

- 1 Modèle instrument
- 2 Modèle direct
- 3 Inversion et résultats
- 4 Conclusion et perspectives

Conclusion et perspectives

Résumé

- Modèle instrument d'imageur prenant en compte la variation en λ de la PSF et de l'intégration spectrale
- Modèle directe obtenu par un traitement conjoint de données multi-filtre ou -instrument
- Restauration de l'objet 3D à partir des slices 2D
- Augmentation de résolution spatial et reconstruction de l'information spectral

Perspective

- Estimation des paramètres de régularisation
- Autres :
 - types de source : modèle paramétrique, mélange de sources
 - a priori : positivité (intensité positive), parcimonie (point sources) ...

Conclusion et perspectives

Résumé

- Modèle instrument d'imageur prenant en compte la variation en λ de la PSF et de l'intégration spectrale
- Modèle directe obtenu par un traitement conjoint de données multi-filtre ou -instrument
- Restauration de l'objet 3D à partir des slices 2D
- Augmentation de résolution spatial et reconstruction de l'information spectral

Perspective

- Estimation des paramètres de régularisation
- Autres :
 - types de source : modèle paramétrique, mélange de sources
 - a priori : positivité (intensité positive), parcimonie (point sources) ...

Fin

Merci de votre attention

Références I

- [BGML⁺15] Patrice Bouchet, Macarena García-Marín, P-O Lagage, Jérôme Amiaux, J-L Auguères, Eva Bauwens, JADL Blommaert, CH Chen, ÖH Detre, Dan Dicken, et al.
The Mid-Infrared Instrument for the James Webb Space Telescope, III : MIRIM, The MIRI Imager.
Publications of the Astronomical Society of the Pacific, 127(953) :612, 2015.
- [GL10] N Geis and D Lutzn.
Herschel/PACS modelled point-spread functions .
http://herschel.esac.esa.int/twiki/pub/Public/PacsCalibrationWeb/PACSPSF_PICC-ME-TN-029_v2.0.pdf, 2010.

Références II

- [GRR⁺10] Pierre Guillard, Thomas Rodet, S Ronayette, J Amiaux, Alain Abergel, V Moreau, JL Augueres, A Bensalem, T Orduna, C Nehmé, et al.

Optical performance of the jwst/miri flight model : characterization of the point spread function at high resolution.

In *SPIE Astronomical Telescopes+ Instrumentation*, pages 77310J–77310J. International Society for Optics and Photonics, 2010.

- [STD13] Ferréol Soulez, Eric Thiébaud, and Loic Denis.

Restoration of hyperspectral astronomical data with spectrally varying blur.

EAS Publications Series, 59 :403–416, 2013.

Références III

[VC14]

E. Villeneuve and H. Carfantan.

Nonlinear deconvolution of hyperspectral data with mcmc for studying the kinematics of galaxies.

IEEE Transactions on Image Processing, 23(10) :4322–4335, Oct 2014.